

9. Рид Р., Праусниц Дж., Шервуд Т. Свойства газов и жидкостей.— Л.: Химия, 1982.
10. Дильтман В. В., Найденов В. И. О межфазной неустойчивости и влиянии градиента поверхностного натяжения на скорость хемосорбции при гравитационном течении жидкой пленки // Теор. основы хим. технологии.— 1986.— Т. 20, № 3.
11. Гершунин Г. З., Жуховицкий Е. М. Конвективная устойчивость несжимаемой жидкости.— М.: Наука, 1972.
12. Lam T. T., Bayazitoglu Y. Effects of internal heat generation and variable viscosity on Marangoni convection // Numer. Heat Transfer.— 1987.— V. 11, N 2.

г. Москва

Поступила 4/IV 1988 г.,
в окончательном варианте — 30/VI 1988 г.

УДК 532.526

A. H. Кудрявцев, A. C. Соловьев

УСТОЙЧИВОСТЬ СЛОЯ СДВИГА СЖИМАЕМОГО ГАЗА

При смещении двух параллельных потоков вязкого газа, движущихся с различными скоростями, вблизи границы раздела образуется течение, называемое обычно свободным слоем сдвига. Подобные течения на практике встречаются в пограничном слое струи, истекающей в затопленное пространство, в следе за несимметрично обтекаемым телом и т. п. Свободные сдвиговые течения весьма неустойчивы по отношению к малым возмущениям — слой сдвига несжимаемого газа, например, неустойчив при всех числах Рейнольдса Re [1]. Устойчивость сжимаемого слоя сдвига при конечных Re , по-видимому, ранее не исследовалась. Без учета вязкости эта задача решалась в [2—4], причем был сделан ряд дополнительных упрощений: температура во всем течении считалась постоянной, динамический профиль задавался функцией $U(y) = \text{th } y$.

В данной работе при исследовании устойчивости сжимаемого слоя сдвига газ считается вязким и теплопроводным, профиля скорости и температуры рассчитываются из соответствующих уравнений пограничного слоя [5]. Приближения несжимаемого или невязкого газа получаются отсюда как предельные случаи, когда число Маха $M \rightarrow 0$ или $Re \rightarrow \infty$. Расчеты проведены численно методом ортогонализации [6]. Показано, что при $M \leq 1$ устойчивость течения определяется волновыми возмущениями с фазовой скоростью $c_r = 0$ и нулевым критическим числом Рейнольдса Re_* . С увеличением M область неустойчивых волновых чисел сужается. При $M \geq 1$, как и в невязкой задаче [3], устойчивость определяется бегущими волнами с $c_r \neq 0$ (вторая мода возмущений). Обнаружено, что для второй моды Re_* отлична от нуля и уменьшается с ростом M . Построены кривые нейтральной устойчивости, собственные функции, изучена зависимость характеристик устойчивости от M при $0 \leq M \leq 2$.

1. Рассмотрим плоское течение в слое сдвига сжимаемого вязкого теплопроводного газа. Предположим, что газ идеальный, с постоянными теплоемкостями c_v и $c_p = \gamma c_v$, вязкость μ и теплопроводность k прямо пропорциональны температуре, так что число Прандтля $Pr = \mu c_p / k$ постоянно, вторая вязкость равна нулю. Уравнения Навье — Стокса, записанные в безразмерной форме, в этом случае имеют вид

$$(1.1) \quad \begin{aligned} \frac{\partial \rho}{\partial t} + \frac{\partial (\rho u_i)}{\partial x_i} &= 0, \quad \rho \left(\frac{\partial u_i}{\partial t} + u_j \frac{\partial u_i}{\partial x_j} \right) + \frac{\partial p}{\partial x_i} = \frac{1}{Re} \frac{\partial \sigma_{ij}}{\partial x_j}, \\ \rho \left(\frac{\partial \theta}{\partial t} + u_j \frac{\partial \theta}{\partial x_j} \right) + (\gamma - 1) \rho \theta \frac{\partial u_j}{\partial x_j} &= \frac{\gamma}{Re Pr} \frac{\partial}{\partial x_j} \left(\mu \frac{\partial \theta}{\partial x_j} \right) + \frac{\gamma(\gamma - 1) M^2}{Re} \sigma_{ij} e_{ij}, \\ \mu(\theta) &= \theta, \quad p = \rho \theta / \gamma M^2, \\ \sigma_{ij} &= 2\mu e_{ij} - \frac{2}{3} \mu e_{kk} \delta_{ij}, \quad e_{ij} = \frac{1}{2} \left(\frac{\partial u_i}{\partial x_j} + \frac{\partial u_j}{\partial x_i} \right), \quad i, j, k = 1, 2, \\ M &= U_* / \sqrt{\gamma R T_*}, \quad Re = \rho_* U_* \delta / \mu_*, \quad \delta = (\pi \mu X / \rho_* U_*)^{1/2}. \end{aligned}$$

Здесь $u_1 \equiv u$ и $u_2 \equiv v$ — продольная и поперечная компоненты скорости в направлении осей $x_1 \equiv x$ и $x_2 \equiv y$ соответственно; ρ , p , θ — плотность, давление и температура газа; R — газовая постоянная. Областью изменения независимых переменных x и y является вся плоскость $-\infty < x < \infty$, $-\infty < y < \infty$. В качестве масштаба длины взята толщина пограничного слоя между потоками δ , X — размерная продольная коор-

дината. Скорость, плотность и температура отнесены к их значениям в однородном невозмущенном потоке при $y \rightarrow \infty$ (отмеченным в (1.1) звездочкой), так что $u|_{y \rightarrow \infty} = 1$, $\theta|_{y \rightarrow \infty} = 1$. Постоянные значения скорости и температуры в другом потоке обозначим через $u|_{y \rightarrow -\infty} = m$, $\theta|_{y \rightarrow -\infty} = \kappa$.

Для изучения устойчивости слоя сдвига ищем, как обычно, решение в виде суперпозиции основного ламинарного течения, взятого при фиксированном значении координаты $x = x_0$ (квазипараллельное приближение), и периодических по x возмущений — бегущих волн малой амплитуды:

$$(1.2) \quad \rho = \rho_0(x_0, y) + \tilde{\rho}(x, y, t), u = U(x_0, y) + \tilde{u}(x, y, t),$$

$$v = \tilde{v}(x, y, t), p = \Pi(x_0, y) + \tilde{p}(x, y, t), \theta = T(x_0, y) + \tilde{\theta}(x, y, t);$$

$$(1.3) \quad \{\tilde{\rho}, \tilde{u}, \tilde{v}, \tilde{p}, \tilde{\theta}\} = \{\rho(y), \mathbf{u}(y), \mathbf{v}(y), p(y), \theta(y)\} e^{i\alpha(x - ct)},$$

$$c = c_r + i c_i$$

(α — волновое число периодического возмущения с периодом $2\pi/\alpha$, c_r — фазовая скорость волны). Расчет параметров основного течения выполняется на основе теории непрерывного слоя [5], давление $\Pi = 1/\gamma M^2$ постоянно, и из (1.1) следует, что $\rho_0 = 1/T$ (расчет основного течения и связь x_0 с Re см. в приложении).

Подставляя (1.2), (1.3) в (1.1) и оставляя в уравнениях только члены первого порядка малости по амплитуде возмущений, приходим к следующей системе обыкновенных дифференциальных уравнений:

$$(1.4) \quad \begin{aligned} D\rho + \frac{\eta}{T} - \frac{1}{T^2} \frac{dT}{dy} \mathbf{v} &= 0, \\ D\mathbf{u} + \frac{dU}{dy} \mathbf{v} + i\alpha T \mathbf{p} &= \frac{T}{Re} \left[\mu_0 \Delta \mathbf{u} + \frac{i\alpha \mu_0 \eta}{3} + \frac{dT}{dy} \left(\frac{d\mathbf{u}}{dy} + i\alpha \mathbf{v} \right) + \frac{d}{dy} \left(\frac{dU}{dy} \theta \right) \right], \\ D\mathbf{v} + T \frac{dp}{dy} - \frac{T}{Re} \left[\mu_0 \Delta \mathbf{v} + \frac{\mu_0}{3} \frac{d\eta}{dy} + \frac{2}{3} \frac{dT}{dy} \left(2 \frac{d\mathbf{v}}{dy} - i\alpha \mathbf{u} \right) + i\alpha \frac{dU}{dy} \theta \right], \\ D\theta + \frac{dT}{dy} \mathbf{v} + (\gamma - 1) T \eta &= \frac{\gamma T}{Re Pr} \left(\mu_0 \Delta \theta + \frac{d^2 T}{dy^2} \theta + 2 \frac{dT}{dy} \frac{d\theta}{dy} \right) + \\ &\quad + \frac{\gamma(\gamma-1)M^2}{Re} T \left[2\mu_0 \frac{dU}{dy} \left(\frac{d\mathbf{u}}{dy} + i\alpha \mathbf{v} \right) + \left(\frac{dU}{dy} \right)^2 \theta \right], \\ \mathbf{p} &= (\theta/T + T\rho)/\gamma M^2, \mathbf{u}_0 = \mathbf{u}(T), \eta = i\alpha \mathbf{u} + d\mathbf{v}/dy, \\ D &= i\alpha(U - c), \Delta = \frac{d^2}{dy^2} - \alpha^2. \end{aligned}$$

Уравнения (1.4), дополненные требованием ограниченности возмущений на бесконечности

$$(1.5) \quad |\rho|, |\mathbf{u}|, |\mathbf{v}|, |\mathbf{p}|, |\theta| < \infty \text{ при } |y| \rightarrow \infty,$$

образуют задачу на собственные значения для c . Течение устойчиво, если $c_i < 0$, и неустойчиво, когда $c_i > 0$. При $c_i = 0$ течение нейтрально устойчиво.

Отметим, что в невязком пределе при $Re \rightarrow \infty$ система (1.4) сводится к одному уравнению для амплитуды давления [7]

$$(1.6) \quad \frac{d^2 \mathbf{p}}{dy^2} - \left(\frac{2}{U - c} \frac{dU}{dy} - \frac{1}{T} \frac{dT}{dy} \right) \frac{d\mathbf{p}}{dy} + \alpha^2 \left[\frac{M^2 (U - c)^2}{T} - 1 \right] \mathbf{p} = 0,$$

асимптотическое решение которого при $|y| \rightarrow \infty$ запишем как

$$(1.7) \quad \mathbf{p} \sim \exp(\pm \alpha \sqrt{1 - M^2(U - c)^2/T} y).$$

Пусть, например, $y \rightarrow -\infty$. Тогда из (1.7) видно, что если выполнено условие

$$(1.8) \quad c_i = 0, |m - c_r| > \sqrt{\alpha/M},$$

то возмущение осциллирует, не затухая при $y \rightarrow -\infty$. Аналогично в случае $y \rightarrow +\infty$ решение невязкого уравнения не затухает, если

$$(1.9) \quad c_i = 0, |1 - c_r| > 1/M.$$

В безразмерных переменных $1/M$ — скорость звука в однородном потоке при $y \rightarrow \infty$, а $\sqrt{\chi}/M$ — при $y \rightarrow -\infty$, поэтому условия (1.8) или (1.9) характеризуют возмущения, распространяющиеся со сверхзвуковой скоростью относительно «верхнего» (или «нижнего») потока газа. Как показано в п. 3, такие «сверхзвуковые» возмущения при $M \geq 1$ играют в полной задаче устойчивости (1.4), (1.5) определяющую роль.

2. Для численного решения уравнений (1.4) удобно переписать их в виде системы шести уравнений первого порядка [8] и выбрать в качестве новой независимой переменной Дородницына φ :

$$(2.1) \quad d\mathbf{f}(\varphi)/d\varphi = G(\varphi)\mathbf{f}, \mathbf{f} = (\mathbf{u}, \mathbf{u}', \mathbf{v}, \mathbf{p}, \theta, \theta').$$

Штрихом здесь и ниже обозначается производная по φ , связь переменных φ и y и зависимость скорости и температуры основного течения U, T от φ даются формулами (П. 6)–(П. 9). В уравнении (2.1) G — матрица размером 6×6 , отличные от нуля элементы которой представим как

$$(2.2) \quad \begin{aligned} G_{12} &= 1, G_{21} = \text{Re}D + \alpha^2 T^2, G_{23} = \text{Re}U'/T - 4i\alpha T'/3, \\ G_{24} &= i\alpha T(\text{Re} + \gamma M^2 TD/3), G_{25} = -i\alpha TD/3 - (U'/T)', \\ G_{26} &= -U'/T, G_{31} = -i\alpha T, G_{33} = T'/T, G_{34} = -\gamma M^2 TD, \\ G_{35} &= D, G_{41} = -10i\alpha T'/3Q, G_{42} = -i\alpha T/Q, G_{43} = \\ &= (4T''/3T - \text{Re}D - \alpha^2 T^2)/Q, G_{44} = -4\gamma M^2 (2T'D + i\alpha U'T)/3Q, \\ G_{45} &= (4DT'/T + 7i\alpha U')/3Q, G_{46} = 4D/3Q, Q = \text{Re} + 4\gamma M^2 TD/3, \\ G_{56} &= 1, G_{62} = -2(\gamma - 1)M^2 \text{Pr}U', G_{63} = \text{Re} \text{Pr}T'/T - 2i\alpha(\gamma - \\ &- 1)M^2 \text{Pr}U'T, G_{64} = -(\gamma - 1)M^2 \text{Re} \text{Pr}TD, \\ G_{65} &= \text{Re} \text{Pr}D + \alpha^2 T^2 - (T'/T)' - (\gamma - 1)M^2 \text{Pr}U'^2/T, \\ G_{66} &= -T'/T. \end{aligned}$$

Процедура численного решения состоит из нахождения фундаментальной системы решений (2.1) во внешней области $|\varphi| \rightarrow \infty$, продолжения собственных векторов путем численного интегрирования «внутрь» слоя сдвига и последующей склейки «верхнего» и «нижнего» общих решений в точке $\varphi = 0$.

При $|\varphi| \rightarrow \infty$ коэффициенты (2.2) постоянны, и можно искать решение, пропорциональное $e^{\lambda\varphi}$. Тогда из (2.1) получаем систему алгебраических уравнений

$$(2.3) \quad \begin{aligned} (\text{Re}D + \alpha^2 T^2)\mathbf{u} + i\alpha T(\text{Re} + \gamma M^2 TD/3)\mathbf{p} - i\alpha DT\theta/3 &= \lambda^2 \mathbf{u}, \\ -i\alpha T\mathbf{u} - \gamma M^2 TD\mathbf{p} + D\theta &= \lambda \mathbf{v}, \\ -i\alpha T\lambda \mathbf{u} - (\text{Re}D + \alpha^2 T^2)\mathbf{v} + 4D\lambda\theta/3 &= (\text{Re} + 4\gamma M^2 TD/3)\lambda p, \\ -(\gamma - 1)M^2 \text{Re} \text{Pr}TD\mathbf{p} + (\text{Re} \text{Pr}D + \alpha^2 T^2)\theta &= \lambda^2 \theta. \end{aligned}$$

Покажем, что корни характеристического уравнения λ для системы (2.3) (т. е. собственные значения матрицы $G|_{|\varphi| \rightarrow \infty}$) могут быть найдены аналитически. Умножая первое уравнение на $1/T$, складывая его со вторым, умноженным на $-i\alpha$, и исключая \mathbf{p} и θ с помощью третьего уравнения (2.3), получим уравнение для завихренности ω . Оно имеет такой же вид, как и в несжимаемом газе:

$$(2.4) \quad (\text{Re}D + \alpha^2 T^2)\omega = \lambda^2 \omega, \omega = (1/T)\lambda \mathbf{u} - i\alpha \mathbf{v}.$$

Отсюда сразу определяется одно значение λ_1^2 . Затем, исключив \mathbf{u} и \mathbf{v} из третьего и четвертого уравнений (2.3), приходим к однородной системе двух связанных уравнений для \mathbf{p} и θ . Приравняв нулью ее определитель, легко убедиться, что в результате имеем уравнение, квадратное относи-

тельно λ^2 , откуда находим оставшиеся корни λ_2^2 или λ_3^2 . Таким образом,

$$(2.5) \quad \lambda_i^2 = \alpha^2 T^2 + \Delta_i, \quad i = 1, 2, 3,$$

$$\Delta_1 = \operatorname{Re} D, \quad \Delta_{2,3} = \frac{1}{2} \operatorname{Pr} \Delta_1 \frac{1 + q \left(\frac{4}{3} + \frac{\gamma}{\operatorname{Pr}} \right)}{1 + \frac{4}{3} q \gamma} \times \\ \times \left\{ 1 \pm \sqrt{1 - \frac{4q}{\operatorname{Pr}} \frac{1 + \frac{4}{3} q \gamma}{\left[1 + q \left(\frac{4}{3} + \frac{\gamma}{\operatorname{Pr}} \right) \right]^2}} \right\}, \quad q = \frac{M^2 T D}{\operatorname{Re}},$$

Соответствующие собственные векторы w_i матрицы $G|_{\varphi \rightarrow \infty}$ получим после подстановки (2.5) в (2.1) и их компоненты w_i^j запишем как

$$(2.6) \quad w_i^1 = 1, \quad w_i^2 = \lambda_i, \quad w_i^6 = \lambda_i w_i^1, \quad i = 1, 2, 3, \\ w_1^3 = -i\alpha T / \lambda_1, \quad w_1^4 = w_1^5 = w_1^6 = 0, \\ w_k^3 = -\frac{i\alpha T}{\lambda_k} + \frac{1}{\lambda_k} \left[D - \frac{\gamma}{(\gamma - 1) \operatorname{Re} \operatorname{Pr}} (\operatorname{Re} \operatorname{Pr} D + \alpha^2 T^2 - \lambda_k^2) \right] w_k^5, \\ w_k^4 = \frac{\operatorname{Re} \operatorname{Pr} D + \alpha^2 T^2 - \lambda_k^2}{(\gamma - 1) M^2 \operatorname{Re} \operatorname{Pr} T D} w_k^5, \\ w_k^5 = \frac{\operatorname{Re} D + \alpha^2 T^2 - \lambda_k^2}{i\alpha \left[\frac{TD}{3} - \frac{(\operatorname{Re} + \gamma M^2 T D / 3) (\operatorname{Re} \operatorname{Pr} D + \alpha^2 T^2 - \lambda_k^2)}{(\gamma - 1) M^2 \operatorname{Re} \operatorname{Pr} D} \right]}, \quad k = 2, 3.$$

В предельном случае больших Re формулы (2.5) выглядят более просто:

$$(2.7) \quad \lambda_1^2 = \alpha^2 T^2 + \operatorname{Re} D, \quad \lambda_2^2 = \alpha^2 T^2 + \operatorname{Re} \operatorname{Pr} D, \quad \lambda_3^2 = \alpha^2 T^2 + D^2 M^2 T.$$

Частные решения вида $w_i e^{\lambda_i \varphi}$ имеют во внешней области ясный физический смысл волн завихренности, температуры (или энтропии) и давления — трех типов элементарных возбуждений в сжимаемом теплопроводном газе [9]. Отметим, что решение для λ_3 (волна давления) при $\operatorname{Re} \rightarrow \infty$ переходит в решение невязкой задачи (ср. (1.7) с (2.7)). Общее решение (2.1) при $\varphi \rightarrow \infty$, удовлетворяющее (1.5), записывается как линейная комбинация трех частных решений:

$$(2.8) \quad \mathbf{f}|_{\varphi \rightarrow \infty} = \sum_{i=1}^3 C_i w_i e^{\lambda_i \varphi},$$

где за λ_i следует принять то значение квадратного корня из λ_i^2 , для которого $\operatorname{Real}(\lambda_i) < 0$ (в (2.5), (2.6) при этом $U = 1, T = 1$). Случай, когда для одного из λ_i $\operatorname{Real}(\lambda_i) = 0$, отвечает наличию непрерывного спектра в задаче (1.4), (1.5) и в этой работе не рассматривается. При $\varphi \rightarrow -\infty$ нужно положить в (2.5), (2.6) $U = m, T = \infty$ и выбрать знак квадратного корня так, чтобы $\operatorname{Real}(\lambda_i) > 0$. Обозначим собственные значения и собственные векторы матрицы $G|_{\varphi \rightarrow -\infty}$ через $\lambda_4, \lambda_5, \lambda_6, w_4, w_5, w_6$.

При численном решении система (2.1) интегрируется с начальными данными w_1, w_2, w_3 от $\varphi = \infty$ до $\varphi = 0$, а затем — с w_4, w_5, w_6 от $\varphi = -\infty$ также до $\varphi = 0$. Векторы, получаемые после интегрирования, обозначим через $\mathbf{z}_1, \dots, \mathbf{z}_6$. При $\varphi = 0$ собственная функция задачи должна быть линейной комбинацией как $\mathbf{z}_1, \mathbf{z}_2, \mathbf{z}_3$, так и $\mathbf{z}_4, \mathbf{z}_5, \mathbf{z}_6$:

$$(2.9) \quad C_1 \mathbf{z}_1 + C_2 \mathbf{z}_2 + C_3 \mathbf{z}_3 = C_4 \mathbf{z}_4 + C_5 \mathbf{z}_5 + C_6 \mathbf{z}_6.$$

Условием существования нетривиального решения (2.9) является обращение в нуль детерминанта $F = |z_i^j|$:

$$(2.10) \quad F(c, \alpha, M, \operatorname{Re}) = 0.$$

При интегрировании (2.1) использовалась схема Рунге — Кутта 4-го порядка точности. Чтобы избежать быстрого накопления ошибок, связанного с наличием в (1.4) малого параметра при старших производных, применялся метод ортогонализации [6]. Уравнение (2.10) при нахождении решалось итерационным методом Ньютона.

Необходимо подчеркнуть, что при практическом проведении расчетов область сходимости итерационного метода может оказаться весьма узкой, поскольку при больших Re решение (2.1), (2.8) близко к решению невязкой задачи (1.6), (1.7) и векторы \mathbf{z}_3 , \mathbf{z}_6 почти линейно зависимы. Поэтому в данной работе расчеты проводились следующим образом. Константа C_6 полагалась равной единице, и одно из уравнений (обычно уравнение для p) отсоединялось от системы (2.9). Затем система пяти уравнений, матрица которой уже не содержит близких к линейной зависимости строк и столбцов, решалась относительно C_1, \dots, C_5 . Найденные значения констант подставлялись в оставшееся уравнение и вместо условия (2.10) требовалось выполнение этого уравнения. Границные условия вида (2.8) накладывались при достаточно большом $|\varphi| = L$, в основной части расчетов $L = 5,5$. Число точек на интервале $(-L, L)$ обычно было $N = 129$, иногда при больших Re проводились расчеты с $N = 257$. Итерационный процесс, как правило, прекращался, когда изменение искомой величины на очередной итерации оказывалось меньше 10^{-6} .

3. В настоящей работе численные расчеты проведены для случая, когда смешивающиеся потоки имеют одинаковую температуру ($\kappa = 1$) и движутся с равными противоположно направленными скоростями ($m = -1$). Выбор $m = -1$ не уменьшает общности рассмотрения, так как просто соответствует переходу в систему отсчета, движущуюся со скоростью, равной полусумме скоростей потоков. Во всех расчетах $Pr = 0,72$, $\gamma = 1,4$. Результаты расчетов устойчивости представлены на рис. 1—6.

На рис. 1 в координатах α , M приведены кривые нейтральной устойчивости ($c_i = 0$) при $Re = 10^3$, т. е. практически в условиях невязкой задачи. Нейтральные кривые 1 и 2 отвечают двум различным ветвям дисперсионного уравнения (2.10) — разным «модам» возмущений. Здесь же для сравнения дана нейтральная кривая 3 первой моды $\alpha^2 + M^2 = 1$, найденная в [2] аналитически. Видно, что при $M \leq 1$ выбор в невязкой задаче более простых распределений скорости и температуры основного течения вида $U(y) = \operatorname{th} y$, $T(y) = 1$ качественно не меняет поведения нейтральной кривой. В отсутствие сжимаемости ($M = 0$) возмущения неустойчивы при $\alpha < \alpha_* = 0,915$ ($\alpha < 1$ в [2]). В целом сжимаемость при $M \neq 0$ оказывает стабилизирующее действие — область неустойчивых волновых чисел (ограниченная осью $\alpha = 0$ и нейтральными кривыми) сужается с ростом M , и при $M = 1$ наступает полная стабилизация первой моды. Характерное свойство первой моды, связанное с симметрией основного течения при $m = -1$, $\kappa = 1$ (см. приложение), — равенство нулю фазовой скорости ($c_r = 0$) для всех α , Re , M и c_i , т. е. первая мода является стоячей волной. Если, кроме того, обращается в нуль еще и c_i , то в

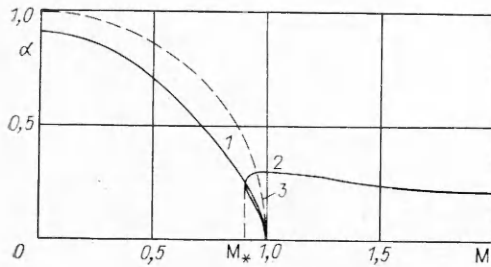


Рис. 1

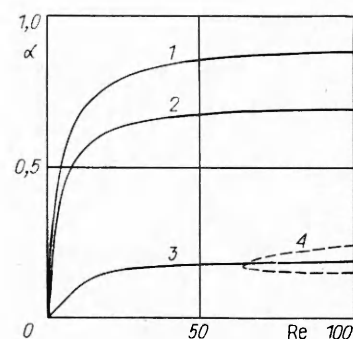


Рис. 2

слой сдвига происходит «смена устойчивости» — возникает новое стационарное состояние.

Для второй моды (кривая 2) расчеты показывают, что $c_r \neq 0$ и меняется в соответствии с условием (1.8) в интервале $1 - 1/M < c_r < 1$, так что такая волна распространяется с дозвуковой скоростью относительно «верхнего» потока и со сверхзвуковой относительно «нижнего». На первый взгляд существование подобных возмущений противоречит свойствам симметрии основного течения. Парадокс разрешается, однако, тем обстоятельством, что если $c_r + ic_i$ — собственное значение задачи (1.4), (1.5) с собственной функцией $\rho(y)$, $u(y)$, $v(y)$, $p(y)$, $\theta(y)$, то при тех же α , M , Re и $-c_r + ic_i$ — собственное значение с собственной функцией $\rho^*(-y)$, $-u^*(-y)$, $-v^*(-y)$, $p^*(-y)$, $\theta^*(-y)$ (звездочка обозначает комплексно-сопряженные величины). Действительно, такая подстановка переводит уравнение (1.4) в комплексно-сопряженное. Значит, вторая мода — это фактически две моды, имеющие совпадающие нейтральные кривые. Минимальное число Маха, при котором появляются нейтральные колебания с $c_r \neq 0$, $M_* = 0,906$ (см. рис. 1), так что в сравнительно узком диапазоне $M_* < M < 1$ существуют три неустойчивые моды колебаний одновременно. Одна из них — стоячая волна, а две другие, имеющие одинаковые коэффициенты нарастания αc_i , бегут в противоположные стороны с равными скоростями. Ниже, говоря о второй моде, будем иметь в виду волну, распространяющуюся в положительном направлении оси x . Результаты расчетов для другой бегущей волны аналогичны с очевидными изменениями.

На рис. 2 приведены нейтральные кривые для первой моды в плоскости α , Re при различных M ($1-3$ — $M = 0$ (несжимаемый слой сдвига); $0,5$; $0,95$). Для полноты картины при $M = 0,95$ здесь же напесена нейтральная кривая второй моды (линия 4). Видно, что при увеличении M (кривые 2, 3) Re_* для первой моды остается равным нулю, — слой сдвига неустойчив в случае $M < 1$ при любых Re . Влияние сжимаемости на первую моду сводится, таким образом, к уменьшению области неустойчивых волновых чисел.

На рис. 3 представлены результаты расчетов устойчивости второй моды. На рис. 3, а изображены нейтральные кривые $1-3$ для $M = 0,95$; $1,2$; $2,0$. В отличие от первой моды $Re_* \neq 0$ с ростом M оно быстро уменьшается. В наибольшей степени стабилизирующее влияние вязкости заметно при $M = 0,95$ (Re_* для кривой 1 превосходит Re_* кривых 2, 3 более чем на порядок). Рис. 3, б показывает зависимость c_r нейтральных возмущений от Re для тех же трех значений M . Величина c_r меняется совсем незначительно при $M = 1,2$ или $M = 2,0$ (см. кривые 2 и 3 рис. 3, б, для первой из них c_r на верхней и нижней ветвях нейтральной кривой почти совпадают).

На рис. 4 приведена зависимость Re_* от M . Сопоставляя его с рис. 1 и 3, а, можно следующим образом описать качественное поведение нейтральной кривой второй моды с изменением M . При $M \geq 1$ асимптотой ее нижней ветви служит ось $\alpha = 0$, $Re_* \sim 1$. Когда $M \rightarrow M_*$, то Re_* быстро возрастает, нейтральная кривая сдвигается в область больших Re , а нижняя асимптота сближается с верхней (см. рис. 1). В этом диапазоне M

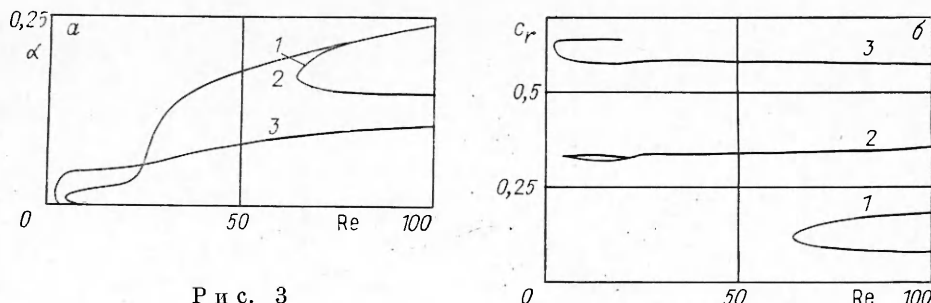


Рис. 3

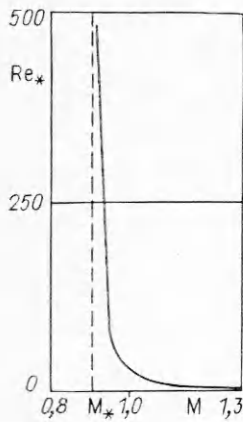


Рис. 4

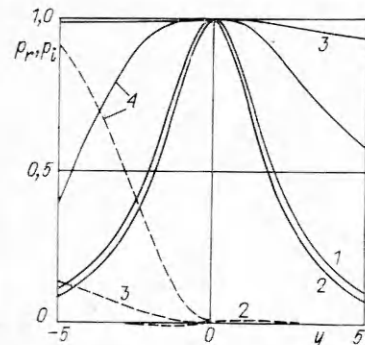


Рис. 5

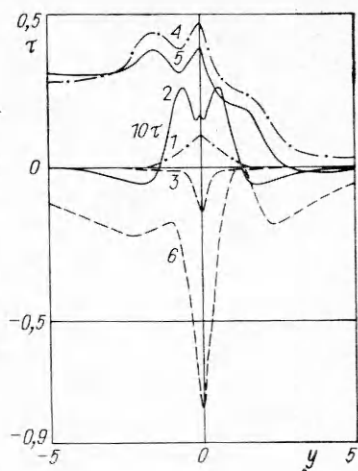


Рис. 6

влияние вязкости на колебания второй моды максимально. Если учесть также наличие первой моды, то можно прийти к заключению, что слой сдвига наиболее устойчив при $M \approx 1$. При $M=1$ первая мода полностью стабилизируется, для колебаний второй моды $Re_* = 32,8$.

Рис. 5 показывает поведение собственных функций возмущения давления $p(y)$ (они нормированы так, что $p(0) = 1$) нейтральных колебаний первой ($M = 0,5$) и второй ($M = 1,2$) мод при двух значениях Re . Кривые 1 и 2 относятся к первой моде и соответствуют $Re = 20$, $\alpha = 0,620$ и $Re = 100$, $\alpha = 0,697$. Для второй моды $Re = 20$, $\alpha = 0,028$, $c_r = 0,330$ (кривая 3), $Re = 100$, $\alpha = 0,230$, $c_r = 0,351$ (кривая 4). Сплошные линии — действительные части собственных функций, штриховые — мнимые (мнимая часть $p(y)$ в случае 2 очень мала и на рис. 5 не показана). Видно, что поведение собственных функций двух мод совершенно различно, в частности, собственные функции второй моды практически не затухают при $y \rightarrow -\infty$, т. е. происходит излучение возмущений во внешнее течение. Хорошо заметно также, что если кривые 1 и 2, отвечающие различным Re , отличаются друг от друга слабо, то 3 и 4 — значительно. Возмущение давления при $Re = 20$ (кривая 3) почти не меняется поперек сдвигового слоя. Это связано с тем, что данное возмущение длинноволновое ($\alpha = 0,028$), с длиной волны $2\pi/\alpha$, существенно превышающей толщину слоя сдвига. Влияние вязкости на вторую моду оказывается, таким образом, значительно более сильным, чем на первую.

На рис. 6 изображены усредненные по длине волны напряжения Рейнольдса $\tau(y)$

$$(3.1) \quad \tau = -\rho_0 \overline{\text{Real } \tilde{u} \text{ Real } \tilde{v}} = -(1/4)(\mathbf{u}\mathbf{v}^* + \mathbf{u}^*\mathbf{v})/T.$$

Они характеризуют обмен энергией между возмущениями и основным течением. Кривые 1—3 соответствуют $\alpha = 0,6; 0,697; 0,8$ при $M = 0,5$ (первая мода), 4—6 — $\alpha = 0,15; 0,230; 0,3$, $M = 1,2$ (вторая мода), сплошные линии показывают τ для нейтральных колебаний, штриховые — затухающих, штрихпунктирные — нарастающих ($Re = 100$). Собственные значения c для кривых 1—6 следующие: $c = 0,0965i; 0; -0,107i; 0,310+0,0443i; 0,330; 0,342-0,277i$. Кривая 2 нанесена в другом масштабе ($\tau \times 10$). Заметим, что для невязких нейтральных возмущений первой моды напряжение Рейнольдса тождественно равно нулю, а для второй моды в этом случае τ испытывает скачок в точке $y = 0$, оставаясь постоянной по обе стороны от нее [3].

Приложение. Профили скорости и температуры стационарного основного течения в слое сдвига, удовлетворяющие уравнениям пограничного

слоя с граничными условиями

$$(П.1) \quad U|_{y \rightarrow \infty} = 1, \quad T|_{y \rightarrow \infty} = 1, \quad U|_{y \rightarrow -\infty} = m, \quad T|_{y \rightarrow -\infty} = \kappa,$$

имеют вид [5]

$$(П.2) \quad U(\psi) = 1 + (1/2)(m - 1)(1 - \operatorname{erf} \psi);$$

$$(П.3) \quad T(\psi) = 1 + \frac{1}{2}(\kappa - 1)[1 - \operatorname{erf}(\psi \sqrt{\text{Pr}})] + \\ + (\gamma - 1) M^2 \int_{\psi}^{\infty} \left[\frac{dU(z)}{dz} \right]^{\text{Pr}} \left(\int_0^z \left[\frac{dU(t)}{dt} \right]^{2-\text{Pr}} dt \right) dz,$$

где ψ определяется формулой

$$(П.4) \quad \frac{y}{2\sqrt{x}} = \frac{1}{\sqrt{\text{Re}}} \int_0^{\psi} T(z) dz.$$

Здесь переменные x и y отнесены к толщине слоя сдвига δ (см. (1.1)). Число Рейнольдса, построенное по δ , связано в этом случае с координатой x формулой

$$(П.5) \quad \text{Re} = \pi x.$$

Основное течение в задаче устойчивости рассматривается в фиксированном сечении $x = x_0$, где, согласно (П.5), $x_0 = \text{Re}/\pi$. Тогда вместо (П.4) запишем

$$y = \frac{2}{\sqrt{\pi}} \int_0^{\psi} T(z) dz.$$

Удобнее пользоваться переменной $\varphi = 2\psi/\sqrt{\pi}$, так что

$$(П.6) \quad y = \int_0^{\varphi} T dz.$$

Подставив U из (П.2) в (П.3), с учетом (П.6) имеем окончательные формулы для U и T :

$$(П.7) \quad U(\varphi) = 1 + (1/2)(m - 1)[1 - \operatorname{erf}(\sqrt{\pi}\varphi/2)];$$

$$(П.8) \quad T(\varphi) = 1 + \frac{1}{2}(\kappa - 1)[1 - \operatorname{erf}(\sqrt{\pi \text{Pr}} \varphi/2)] +$$

$$+ \frac{\text{Pr}(\gamma - 1) M^2 (m - 1)^2}{4 \sqrt{2 - \text{Pr}}} \int_{\varphi}^{\infty} \Phi(z) dz;$$

$$(П.9) \quad \Phi(z) = \exp(-\pi \text{Pr} z^2/4) \operatorname{erf}(\sqrt{\pi(2 - \text{Pr})} z/2).$$

Если теперь положить $m = -1$, $\kappa = 1$, то U будет антисимметричной, а T симметричной функциями переменной φ , а следовательно, согласно (П.6), и переменной y .

ЛИТЕРАТУРА

1. Bethov R., Szewczyk A. Stability of a shear layer between parallel streams // Phys. Fluids.—1963.—V. 6, N 10.
2. Blumen W. Shear layer instability of an inviscid compressible fluid // J. Fluid Mech.—1970.—V. 40, pt 4.
3. Blumen W., Drazin P. G., Billings D. F. Shear layer instability of an inviscid compressible fluid. Pt 2 // J. Fluid Mech.—1975.—V. 71, pt 2.
4. Drazin P. G., Davey A. Shear layer instability of an inviscid compressible fluid. Pt. 3 // J. Fluid Mech.—1977.—V. 82, pt 2.
5. Вулис Л. А., Кашкаров В. П. Теория струй вязкой жидкости.—М.: Наука, 1965.

6. Годунов С. К. О численном решении краевых задач для систем линейных обыкновенных дифференциальных уравнений // УМН.— 1961.— Т. 16, вып. 3(99).
7. Бетчов Р., Криминале В. Вопросы гидродинамической устойчивости.— М.: Мир, 1971.
8. Линь Ц. Ц. Теория гидродинамической устойчивости.— М.: ИЛ, 1958.
9. Chu B.-T., Kovasznay L. S. G. Non-linear interactions in a viscous heat-conducting compressible gas // J. Fluid Mech.— 1958.— V. 3, N 5.

г. Новосибирск

Поступила 22/VII 1988 г.

УДК 532.529.6; 532.516

А. Г. Петров

ЦИРКУЛЯЦИЯ ВНУТРИ ВЯЗКИХ ДЕФОРМИРОВАННЫХ КАПЕЛЬ, ДВИЖУЩИХСЯ В ГАЗЕ С ПОСТОЯННОЙ СКОРОСТЬЮ

Рассматривается движение жидкой капли в стационарном потоке, когда отношение динамической вязкости внешнего течения к вязкости внутреннего течения мало. Из установленной двухсторонней оценки для диссипации энергии внутри капли определяется внутренняя циркуляция. Из уравнения баланса сил внешнего и внутреннего давлений и поверхностного натяжения найдена связь между внутренней циркуляцией и деформацией капли. Получены уравнения колебаний капли, падающей в газе, и решена задача устойчивости. Теоретическое значение критического размера капли согласуется с опытными данными по дроблению капель.

1. Разложения по малому отношению вязкостей. Уравнения первого приближения. Рассмотрим осесимметричное обтекание жидкой капли. Жидкости внутри и вне капли считаем вязкими, несжимаемыми. Обозначим через v_+ вектор скорости вне капли, μ_+ , v_+ — динамическую и кинематическую вязкости, ρ_+ — плотность жидкости вне капли. Соответствующие характеристики движения внутри капли отметим индексом $-$.

Внутри и вне капли поля скоростей подчиняются уравнениям Навье — Стокса. На поверхности капли ∂V заданы четыре условия: равенство нулю нормальных скоростей v_n , непрерывность тангенциальной скорости v_τ и касательного напряжения σ_τ , на бесконечности выполняется условие $v_+ \rightarrow v_\infty$. Форма капли предполагается известной. Для ее определения в п. 6 привлекается граничное условие для нормальных напряжений.

Для капель, движущихся в газе, обычно выполнено условие $\mu_+/\mu_- \ll \ll 1$, при котором v_- существенно меньше v_∞ . При большом числе Рейнольдса Re_+ внешнее течение вблизи границы имеет структуру, характерную для теории пограничного слоя на твердой поверхности. Толщина пограничного слоя $\delta_+ = l/\sqrt{Re_+}$ (l — радиус шара, эквивалентного капле по объему).

Характерное значение $\sigma_{+\tau} \sim \sigma$ обратно пропорционально δ_+ :

$$(1.1) \quad \sigma = \mu_+ v_\infty / \delta_+ = \mu_+ v_\infty \sqrt{Re_+} / l, \quad Re_+ = lv_\infty / v_+.$$

Касательное напряжение $\sigma_{+\tau}$ вызывает вихревое течение внутри капли, скорость которого $v_- \sim \sigma l / \mu_-$, откуда с помощью (1.1) имеем $v_- \sim Rv_\infty$, $R = (\mu_+ / \mu_-) \sqrt{Re_+}$. Предполагая параметр R малым, решение краевой задачи ищем в виде разложений по степеням R :

$$(1.2) \quad v_+ = v_\infty (v_+^{(0)} + Rv_+^{(1)} + \dots), \quad v_- = v_\infty (Rv_-^{(1)} + \dots), \\ \sigma_{+\tau} = \sigma (\tau^{(0)} + R\tau^{(1)} + \dots).$$

Разложения для давлений начинаются со слагаемых, имеющих порядки $p_+ \sim \rho_+ v_\infty^2$, $p_- \sim \rho_- v_-^2 \sim \rho_- R^2 v_\infty^2$. Подставляя эти разложения в уравнения Навье — Стокса и граничные условия, найдем уравнения и граничные условия для $v_+^{(i)}$, $p_+^{(i)}$ ($i = 0, 1, \dots$). Для $v_+^{(0)}$, $p_+^{(0)}$ получим краевую задачу обтекания твердого тела с условием прилипания (из ее решения определится безразмерное касательное напряжение $\tau^{(0)}$ на гра-